

РАСЧЕТ РАДИАЛЬНО-СИММЕТРИЧНЫХ ПРЕЛОМЛЯЮЩИХ ПОВЕРХНОСТЕЙ С УЧЕТОМ ФРЕНЕЛЕВСКИХ ПОТЕРЬ

Л.Л. Досколович^{1,2}, М.А. Мусеев^{1,2}

¹Институт систем обработки изображений РАН, Самара, Россия,

²Самарский государственный аэрокосмический университет имени академика С.П. Королева, Самара, Россия

Аннотация

Получена система дифференциальных уравнений для расчета радиально-симметричных оптических элементов с учетом френелевских потерь. Рассчитан оптический элемент для создания равномерно освещенного круга диаметром 90 мм на расстоянии 10 мм от источника и показана необходимость учета френелевских потерь.

Ключевые слова: освещенность, преломляющая поверхность, френелевские потери, оптический элемент.

Введение

Расчет зеркал и преломляющих оптических поверхностей для фокусировки в заданную область является актуальной задачей светотехники [1,2]. В общем случае даже при точечном источнике света расчет оптической преломляющей поверхности или зеркала сводится к решению нелинейного дифференциального уравнения в частных производных типа уравнения Монже-Ампера [3,4]. Решение данной задачи является крайне сложным. Аналитические решения известны только для частных случаев радиальной или цилиндрической симметрии при точечном (компактном) источнике излучения [5-8].

В [5-7] рассмотрен расчет зеркала для формирования заданной диаграммы направленности и фокусировки в круг, для профиля зеркала получено аналитическое выражение. Обобщение полученного аналитического решения на случай преломляющего оптического элемента не представляет сложности. При расчете систем подсветки с размером освещаемой области значительно большим, чем толщина системы, возникает необходимость учета френелевских потерь. В данной работе рассмотрен расчет радиально-симметричных преломляющих оптических элементов для фокусировки в круг с заданной освещенностью с учетом френелевских потерь. При точечном (компактном) источнике задача сводится к решению системы обыкновенных дифференциальных уравнений, разрешенных относительно производной. По мнению авторов, полученные уравнения ранее не были опубликованы. На расчетных примерах показана эффективность данного подхода при расчете оптических элементов с размером области фокусировки на порядок большим толщины системы.

1. Расчет преломляющей поверхности

Геометрия задачи показана на рис. 1. Требуется рассчитать профиль $r(\varphi)$ радиально-симметричного преломляющего оптического элемента из условия фокусировки в круг на плоскости $z = f$ с заданным распределением освещенности $E(\rho)$. Точечный (компактный) источник света имеет интенсивность $I_0(\varphi)$ и находится в начале координат. Показатель преломления материала оптического элемента равен n_1 , показатель преломления окружающей среды – n_2 .

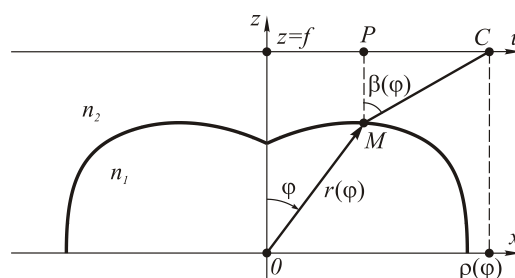


Рис. 1. Геометрия задачи

Направление луча от источника задается углом φ относительно оптической оси Oz . Пусть функция $\beta(\varphi)$ определяет угол между преломленным лучом и оптической осью. При заданной функции $\beta(\varphi)$ радиус-вектор $r(\varphi)$ может быть найден из следующего дифференциального уравнения:

$$\frac{dr(\varphi)}{d\varphi} = -r(\varphi) \frac{\sin(\varphi + \beta(\varphi))}{n_1/n_2 - \cos(\varphi + \beta(\varphi))}. \quad (1)$$

Уравнение (1) несложно получить из закона Снеллиуса. Аналогичный результат для профиля зеркала представлен в работах [5-7]. Уравнение (1) переходит в уравнение зеркала при $n_1/n_2 = -1$. Пусть радиус точки пересечения луча с выходной плоскостью обозначается за $\rho(\varphi)$. В таком случае функция $\beta(\varphi)$ выражается из прямоугольного треугольника MPC на рис. 1:

$$\beta(\varphi) = \arctg \left(\frac{\rho(\varphi) - r(\varphi) \sin(\varphi)}{f - r(\varphi) \cos(\varphi)} \right). \quad (2)$$

Функция $\rho(\varphi)$ определяется из условия формирования требуемой освещенности $E_0(\rho)$ в плоскости $z = f$. Согласно закону сохранения светового потока

$$I_0(\varphi) T(\varphi, r(\varphi)) d\Omega = E(\rho(\varphi)) dS, \quad (3)$$

где $d\Omega = 2\pi \sin(\varphi) d\varphi$ – дифференциал телесного угла, $dS = 2\pi \rho(\varphi) d\rho(\varphi)$ – дифференциал площади, $\rho(\varphi)$ – координата пересечения луча с выходной плоскостью, $T(\varphi, r(\varphi))$ – коэффициент пропуска-

ния Френеля для неполяризованного света. Согласно выражению (3),

$$\frac{d\rho^2(\varphi)}{d\varphi} = \frac{2I(\varphi)T(\varphi, r(\varphi))\sin(\varphi)}{E_0(\rho(\varphi))}. \quad (4)$$

Коэффициент пропускания Френеля $T(\varphi, r(\varphi))$ для неполяризованного света равен среднему арифметическому коэффициентов пропускания для базовых поляризаций (случаи, когда вектор электрического поля перпендикулярен или параллелен плоскости падения) и зависит от углов падения $\theta_i(\varphi)$ и преломления $\theta_t(\varphi)$ луча [9]:

$$T(\varphi, r(\varphi)) = (T_{\parallel}(\varphi, r(\varphi)) + T_{\perp}(\varphi, r(\varphi))) / 2, \quad (5)$$

$$T_{\perp}(\varphi, r(\varphi)) = \frac{n_2 \cos(\theta_i)}{n_1 \cos(\theta_i)} \left| \frac{2n_1 \cos(\theta_i)}{n_2 \cos(\theta_i) + n_1 \cos(\theta_i)} \right|^2, \quad (6)$$

$$\begin{cases} \frac{dr(\varphi)}{d\varphi} = -r(\varphi) \frac{\sin\left(\varphi + \arctg\left(\frac{\sqrt{t(\varphi)} - r(\varphi)\sin(\varphi)}{f - r(\varphi)\cos(\varphi)}\right)\right)}{n_1/n_2 - \cos\left(\varphi + \arctg\left(\frac{\sqrt{t(\varphi)} - r(\varphi)\sin(\varphi)}{f - r(\varphi)\cos(\varphi)}\right)\right)}, \\ \frac{dt(\varphi)}{d\varphi} = I(\varphi)\sin(\varphi)T(\varphi, r(\varphi)) / E(\sqrt{t}), t(\varphi) = \rho^2(\varphi), \end{cases} \quad (9)$$

где коэффициент пропускания Френеля $T(\varphi, r(\varphi))$ определяется выражениями (5)–(7). В системе уравнений использована новая функция $t(\varphi) = \rho^2(\varphi)$. Она позволяет избежать особенности в уравнении (4) (деление на ноль в точке $\rho(0) = 0$).

Система (9) содержит дифференциальные уравнения, разрешенные относительно производной, поэтому для ее интегрирования можно применять стандартные методы, например, метод Рунге-Кутты. При коэффициенте пропускания Френеля $T(\varphi, r(\varphi)) \equiv 1$ система уравнений (9) распадается на два независимых дифференциальных уравнения для расчета профиля преломляющей поверхности без учета френелевских потерь. При $T(\varphi, r(\varphi)) \equiv 1$ и

$$T_{\parallel}(\varphi, r(\varphi)) = \frac{n_2 \cos(\theta_i)}{n_1 \cos(\theta_i)} \left| \frac{2n_1 \cos(\theta_i)}{n_1 \cos(\theta_i) + n_2 \cos(\theta_i)} \right|^2. \quad (7)$$

Величины $\cos(\theta_i)$ и $\cos(\theta_t)$ в (6)–(7) несложно получить в виде

$$\begin{aligned} \cos(\theta_i(r(\varphi))) &= r(\varphi) / \sqrt{r^2(\varphi) + \left(\frac{dr(\varphi)}{d\varphi}\right)^2}, \\ \cos(\theta_t(r(\varphi))) &= \sqrt{1 - \frac{n_1^2}{n_2^2} \sin^2(\theta_i(r(\varphi)))}. \end{aligned} \quad (8)$$

Таким образом, с учетом выражений (1), (2) и (4), система дифференциальных уравнений для расчета преломляющей поверхности $r(\varphi)$ запишется в виде:

$n_1/n_2 = -1$ получаются уравнения, используемые при расчете зеркал и приведенные в работах [5–7].

2. Примеры расчета

Был рассчитан оптический элемент для фокусировки в круг диаметром 90 мм с постоянной освещенностью, расположенный в плоскости $z = 10 \text{ мм}$. Расчет проводился для ламбертовского источника с интенсивностью $I(\varphi) = \cos(\varphi)$, $\varphi \in [0, \pi/2)$ при показателе преломления $n = 1,56$ (полиметилметакрилат). Для интегрирования системы (9) использовался метод Рунге-Кутты 5-ого порядка (начальные условия: высота профиля $r(0) = 5 \text{ мм}$, $\rho(0) = 0 \text{ мм}$). Рассчитанный профиль оптического элемента и характерные размеры показаны на рис. 2.

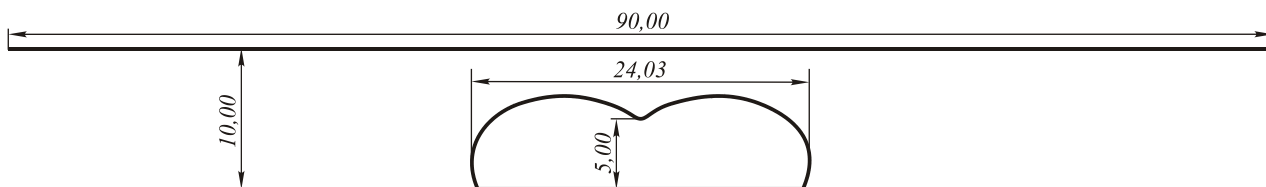


Рис. 2. Профиль оптического элемента и область фокусировки с соблюдением пропорций

Расчетное распределение освещенности в плоскости фокусировки приведено на рис. 3. Расчет освещенности проводился с помощью коммерческой программы по светотехнике TracePro [10].

Распределение на рис. 3 близко к равномерному, среднеквадратичное отклонение распределения освещенности от постоянного значения составляет 8,2%. Флуктуации освещенности связаны как с

погрешностями лучевого расчета, так и с тем фактом, что система уравнений (9) не учитывает вторичных отражений внутри линзы. Энергетическая эффективность фокусировки, определяемая как доля излученного светового потока, попавшая в круг, составляет 69%.

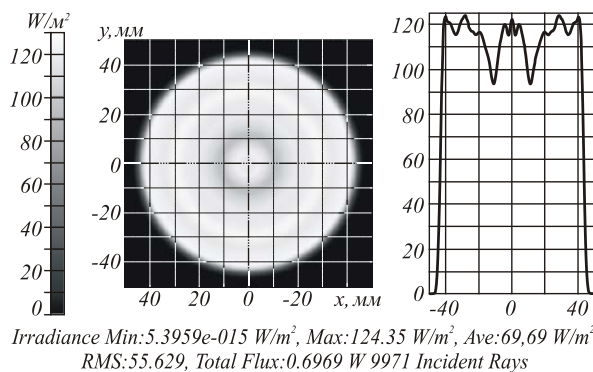


Рис. 3. Распределение освещенности от оптического элемента, рассчитанного с учетом френелевских потерь

Для сравнения на рис. 4 показан результат расчета освещенности в выходной плоскости для оптического элемента, рассчитанного без учета френелевских потерь. Распределение на рис. 4 существенно неравномерное.

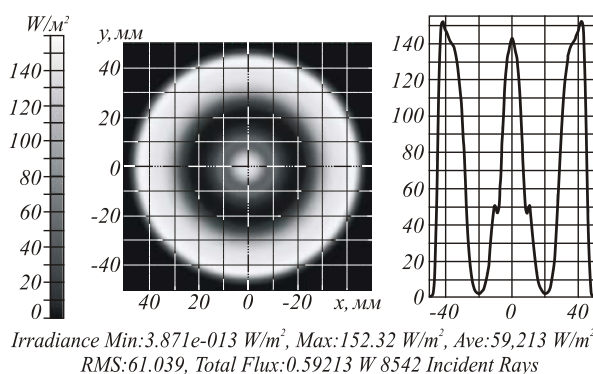


Рис. 4. Распределение освещенности от оптического элемента, рассчитанного без учета френелевских потерь

Темное кольцо обусловлено наличием на преломляющей поверхности области, для которой угол падения (угол между падающим лучом и нормалью к поверхности) близок к углу полного внутреннего отражения. На рис. 5 показаны зависимости угла падения и коэффициента пропускания Френеля от угла φ . Из графиков видно, что для значений $\varphi \in (10^\circ; 35^\circ)$ угол падения луча близок к углу полного внутреннего отражения ($39,868^\circ$) и френелевские потери составляют 75% и более. Приведенный пример демонстрирует важность учета френелевских потерь.

Заключение

Получены формулы расчета радиально-симметричных оптических элементов для фокусировки в круглую область на плоскости с учетом френелевских потерь.

Приведенные расчетные примеры показывают возможность формирования равномерной освещенности в области фокусировки при толщине системы, на порядок меньшей размера области фокусировки. Показана необходимость учета френелевских потерь при расчете оптических элементов с такими параметрами.

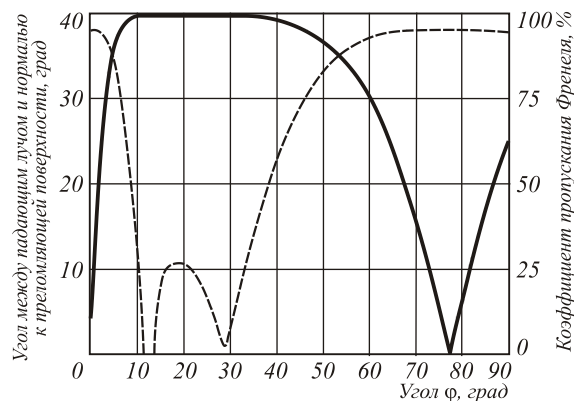


Рис. 5. Зависимости угла падения луча на преломляющую поверхность (сплошная линия, левая ось ординат) и коэффициента пропускания Френеля (прерывистая линия, правая ось ординат) от угла φ

Благодарности

Работа выполнена при поддержке российско-американской программы «Фундаментальные исследования и высшее образование» ("BHRE", грант CRDF RUX0-014-SA-06), «Фонда содействия отечественной науке», грантов РФФИ № 07-07-97601-р_офи, 07-01-96602-р_поволжье_а, 08-07-99005-р_офи и Президента РФ № НШ-3086.2008.9.

Литература

1. **Muschaweck, J.** Tailored LED lowbeam headlamps / J. Muschaweck // Laser+photonik. 2004. – p. 26–28.
2. **Muschaweck, J.** Tailored freeform optical surface / J. Muschaweck, H. Ries // J. Opt. Soc. Am. A. 2002. – Vol. 19(3). – p. 590–595.
3. **Guan, P.** On a Monge-Ampere equation arising in geometric optics / P. Guan, X.-J. Wang // J. Differential Geometry. 1998. – Vol. 48. – p. 205–223.
4. **Погорелов, А.В.** Об уравнениях Монжа-Ампера эллиптического типа / А.В. Погорелов – Харьков: Изд-во ХГУ, 1956. – 111 с.
5. **Elmer, W.B.** Optical design of reflectors / W.B. Elmer // Applied Optics. 1978. – Vol. 17(7). – p. 977–979.
6. **Elmer, W.B.** Optical design of reflectors / W.B. Elmer – N.Y.: Wiley, 1985.
7. **Kusch, O.** Computer-aided optical design of illumination and irradiating devices / O. Kusch – M.: "ASLAN" Publishing House, 1993.
8. **Doskolovich, L.L.** Designing a mirror to form a line-shaped directivity diagram / L.L. Doskolovich, N.L. Kazansky, S. Bernard // Journal of Modern Optics. 2007. – Vol. 54(4). – p. 589–597.
9. **Борн, М.** Основы оптики. / М. Борн, Э. Вольф – М.: Наука, 1973.
10. http://www.lambdare.com/software_products/tracepro/
/tracepro/

DESIGN OF RADIALLY-SYMMETRICAL REFRACTIVE SURFACE TAKING INTO ACCOUNT FRESNEL LOSS

L.L. Doskolovich^{1,2}, M.A. Moiseev^{1,2}

¹Image processing systems institute Russian academy of sciences, Samara, Russia,

²Samara State Aerospace University, Samara, Russia

Abstract

A system of differential equations for designing radially symmetric optical elements with regard for Fresnel losses is derived. An optical element to produce a uniformly illuminated circle (of diameter 90 mm) at a distance of 10 mm from the light source is designed. The necessity of taking the Fresnel losses into account is substantiated.

Key words: irradiance, refracting surface, Fresnel loss, optical element.

Citation: Doskolovich LL, Moiseev MA. Design of radially-symmetrical refractive surface taking into account Fresnel loss. *Computer Optics* 2008; 32(2): 201-3.

Acknowledgements: The work was supported by the Russian-American program "Basic Research and Higher Education» ("BHRE", grant CRDF RUX0-014-SA-06), "Russian Science Support Foundation" grant RFFI № 07-07-97601-r_ofi 07 -01-96602-r_povolzhe_a, 08-07-99005-r_ofi and the President of the Russian Federation number NS-3086.2008.9.

References

- [1] Muschaweck J. Tailored LED lowbeam headlamps. *Laser+photonik* 2004: 26–28.
- [2] Muschaweck J, Ries H. Tailored freeform optical surface. *J. Opt. Soc. Am. A* 2002; 19(3): 590–595.
- [3] Guan P, Wang X-J. On a Monge-Ampere equation arising in geometric optics. *J. Differential Geometry* 1998; 48: 205–223.
- [4] Pogorelov AV. Monge-Ampere equations of elliptic type [In Russian]. Kharkiv: V.N. Karazin Kharkiv National University, 1956; 111 p.
- [5] Elmer WB. Optical design of reflectors. *Applied Optics* 1978; 17(7): 977–979.
- [6] Elmer WB. Optical design of reflectors. N.Y.: Wiley, 1985.
- [7] Kusch O. Computer-aided optical design of illumination and irradiating devices. M.: "ASLAN" Publishing House, 1993.
- [8] Doskolovich LL, Kazanskiy NL, Bernard S. Designing a mirror to form a line-shaped directivity diagram. *Journal of Modern Optics* 2007; 54(4): 589–597.
- [9] Born M, Wolf E. Principles of Optics [In Russian]. Moscow: "Nauka" (Science) Publisher, 1973.
- [10] http://www.lambdare.com/software_products/tracepro/ /tracepro/.